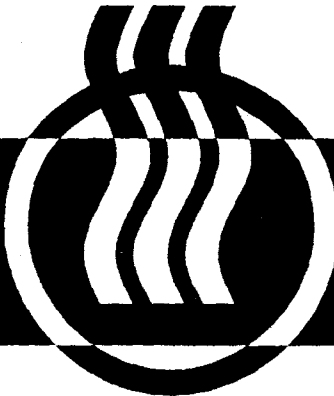


ТЕПЛОМАССООБМЕН ММФ-96

ТОМ VI



M I F - 96
HEAT/MASS TRANSFER

Академия наук Беларусь
АНК "Институт тепло-
и массообмена им. А.В. Лыкова"

ТЕПЛОМАССООБМЕН-
ММФ-96

HEAT / MASS TRANSFER-
MIF-96

III Минский международный форум
(20-24 мая 1996 г.)

Том VI

ТЕПЛОМАССООБМЕН В РЕОЛОГИЧЕСКИХ СИСТЕМАХ

Минск 1996

Л. М. Ульев

НЕИЗОТЕРМИЧЕСКОЕ ТЕЧЕНИЕ ВЫСОКОВЯЗКИХ БИНГАМОВСКИХ ЖИДКОСТЕЙ В КРУГЛЫХ КАНАЛАХ

Поведением бингамовских жидкостей описывается течение некоторых расплавов полимеров в процессе их переработки [1]. Число Рейнольдса для таких жидкостей $Re < 10^{-2}$, а число Пекле $Pe \approx 10^7$, т. е. мы можем моделировать их течение уравнениями ползущего течения. Длина участка термической релаксации у таких жидкостей значительно превосходит длину участка механической релаксации [2], что позволяет сделать сравнительную оценку членов в уравнениях движения и теплообмена и записать их в виде

$$\frac{\partial \Pi}{\partial \xi} = -1 \frac{t}{\xi} + \frac{\partial}{\partial \xi} \left[\frac{\eta}{\xi} \frac{\partial v}{\partial \xi} \right] + \frac{\eta}{\xi} \frac{\partial v}{\partial \xi}, \quad \xi_0 < \xi < 1. \quad (1)$$

$$\frac{1}{\xi} \frac{\partial}{\partial \xi} \left[\xi \omega \right] + \frac{\partial v}{\partial \chi} = 0, \quad (2)$$

$$\frac{1}{\xi} \frac{\partial}{\partial \xi} \left[\xi \omega \theta \right] + \frac{\partial}{\partial \chi} \left[v \theta \right] = \frac{1}{Pe} \frac{1}{\xi} \frac{\partial}{\partial \xi} \left[\xi \frac{\partial \theta}{\partial \xi} \right] + \frac{G_{II}}{Pe} \left(\frac{\partial v}{\partial \xi} \right)^2 - 1t \left(\frac{\partial v}{\partial \xi} \right), \quad \xi_0 < \xi < 1, \quad (3)$$

$$\text{где } \xi_0 = -21t / \left[\frac{\partial \Pi}{\partial \chi} \right]. \quad (4)$$

Границные условия записутся в виде

$$\frac{\partial v}{\partial \xi} = 0, \quad 0 \leq \xi \leq \xi_0, \quad (5)$$

$$v = 0, \quad \omega = 0, \quad \frac{\partial \theta}{\partial \xi} = Bi(\theta - \theta_a), \quad \xi = 1, \quad (6)$$

$$\frac{\partial \theta}{\partial \xi} = 0, \quad \xi = 0, \quad (7)$$

$$\theta = 0, \quad \Pi = 0, \quad 0 \leq \xi \leq i. \quad (8)$$

Необходимо еще учесть условие постоянства расхода.

Здесь

$$x = \frac{z}{R_0}, \quad \xi = \frac{r}{R_0}, \quad \omega = \frac{v}{V}, \quad v = \frac{V}{\xi}, \quad \beta_1 = \frac{R T_0}{E}, \quad \beta_2 = \frac{R T_0}{E_p}, \quad \Theta = \frac{T - T_0}{\Delta T}, \quad V = \frac{Q}{\pi R_0^2},$$

$$\eta = \exp \left\{ - \frac{\Theta}{1 + \beta_1 \Theta} \right\}, \quad t = \exp \left\{ - \frac{\beta_1}{\beta_2} \frac{\Theta}{1 + \beta_1 \Theta} \right\}, \quad \Pi = \frac{(P - P_0) R_0}{\mu_p (T_0) V}, \quad Pe = \frac{V_0 R_0}{a},$$

$$Gr = \frac{\mu (T_0) V^2}{\lambda \Delta T}, \quad I = \frac{\tau_0 (T_0) R_0}{\mu (T) V}, \quad Bi = \frac{k R_0}{\lambda}, \quad \Delta T = \left| \mu \left[\frac{d \eta}{dt} \right] / \left(\frac{d \eta}{dT} \right) \right| = T_0^2 R / E.$$

Для решения этой сопряженной задачи область вязкого течения разбивается на N концентрических цилиндрических слоев, в каждом из которых вязкость и предельное напряжение сдвига считаются постоянными и равными соответствующим величинам, взятым при средней температуре слоя. Такое представление позволило получить систему №2 обыкновенных дифференциальных уравнений, описывавших изменение средних по сечению вязких слоев температур, средней температуры ядра и изменение давления:

$$\frac{d\theta_1}{dx} = \frac{2}{\bar{v}_1 (\xi_1^2 - \xi_{1-1}^2)} [\xi_1 (\omega_1 - St_1) (\theta_1 - \theta_{1+1}) - (\omega_{1-1} + St_{1-1}) (\theta_1 - \theta_{1-1})] + \frac{Gr}{\bar{v}_1 Pe} \bar{\Phi}_1, \quad (9)$$

$$\frac{d\theta_0}{dx} = \frac{1}{\xi_0} [\theta_1 - 2\theta_0 - 1/\beta_1] \frac{d\xi_0}{dx} + 2/N_0 St_0 (\theta_1 - \theta_0), \quad (10)$$

$$\frac{d\Pi}{dx} = -8 \left(1 + \frac{1}{3} \sum_{k=1}^{N-1} \frac{t_{1+k}}{m_1} \right) / \left(\sum_{k=1}^{N-1} \frac{\xi_1^4 - \xi_{1+k}^4}{m_1} \right), \quad (11)$$

где

$$v_1(\xi) = \frac{1}{4} \frac{d\Pi}{dx} \left(\frac{\xi^2 - \xi_1^2}{m_1} - \sum_{k=1}^{N-1} \frac{d_{1+k}}{m_{1+k}} \right) + I \left[\frac{t_1}{m_1} (\xi - \xi_1) - \sum_{k=1}^{N-1} \frac{t_{1+k} b_{1+k}}{m_{1+k}} \right], \quad (12)$$

$$\bar{v}_1 = \frac{1}{8} \frac{d\Pi}{dx} \left[\frac{\xi_1^2 + \xi_{1-1}^2 - \xi_1^2}{2m_1} - \sum_{k=1}^{N-1} \frac{d_{1+k}}{2m_{1+k}} \right] + I \left[\frac{t_1}{m_1} \left(\frac{\xi_1^3 - \xi_{1-1}^3}{3d_1} - \frac{\xi_1}{2m_1} \right) - \sum_{k=1}^{N-1} \frac{t_{1+k} b_{1+k}}{2m_{1+k}} \right],$$

$$\omega_1 = \frac{1}{2\xi_1} \sum_{j=1+1}^N d_j \frac{d\bar{v}_1}{dx}, \quad \bar{\Phi}_1 = m_1 \left(\frac{d\bar{v}_1}{d\xi} \right)^2 - I t_1 \frac{d\bar{v}_1}{d\xi}, \quad d_1 = \xi_{1-1}^2 \xi_1^2, \quad b_1 = \xi_{1-1} \xi_1,$$

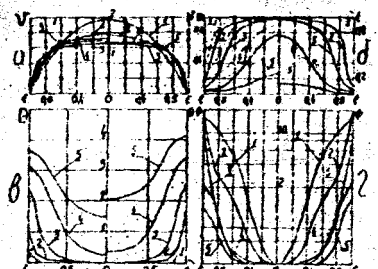
ω_1 и $\bar{\Phi}_1$ определены в [3].

Оценки, сделанные для течения в слабосходящихся каналах, показали,

что течение и теплообмен в них можно моделировать уравнениями, записанными в цилиндрических координатах с заданной функцией изменения радиуса от длины $\xi_R = f(x)$, как это предлагается для течения полимеров в [4].

Рассмотрим особенности неизотермического течения на примере течения в цилиндре с адиабатической стенкой при параметрах: $Re=1590$; $Cn=15,8$; $I=0,136$; $\beta_1=1,925 \times 10^{-2}$; $\beta_2=3,85 \times 10^{-2}$.

В данном случае неизотермичность течения определяется диссипацией энергии, наибольшее количество которой выделяется у стенок канала, где наибольший градиент скорости (рис. 1а). Там же прежде всего начинает увеличиваться температура (рис. 1б), а это приводит



к уменьшению вязкости и предельного напряжения сдвига. Профиль скорости вследствие этого становится более изогнутым, из-за чего скорость сдвига на периферии возрастает и выделение энергии у стенок увеличивается, а это ведет к снижению μ и τ_0 . Дальше вдоль канала профиль скорости становится еще более плоским, что приводит к локализации тепловыделения на периферии течения, но за счет уменьшения μ и τ_0 снижается мощность источников энергии и профиль скорости несколько стабилизируется (крив. 4, 5).

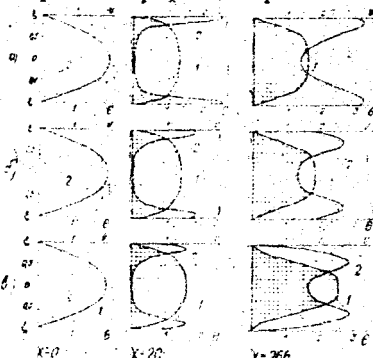
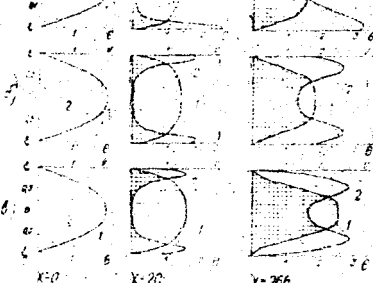


Рис. 1. Распределение по радиусу:
а) продольной составляющей скорости;
б) вязкости - сплошные линии, предельного напряжения сдвига - штриховые; в) температуры; г) плотности энергии диссипации. Правая половина рисунков для $t_0=\text{const.}$ 1 - распределение при

$x=0$; 2 - $x=3$; 3 - 20; 4 - 100; 5 - 266



к уменьшению вязкости и предельного напряжения сдвига. Профиль скорости вследствие этого становится более изогнутым, из-за чего скорость сдвига на периферии возрастает и выделение энергии у стенок увеличивается, а это ведет к снижению μ и τ_0 . Дальше вдоль канала профиль скорости становится еще более плоским, что приводит к локализации тепловыделения на периферии течения, но за счет уменьшения μ и τ_0 снижается мощность источников энергии и профиль скорости несколько стабилизируется (крив. 4, 5).

Рис. 2. Эволюция продольной составляющей скорости (1) и температуры (2): а) $\theta_a=2,24$; б) 0; в) $-2,24$

При $Bi=0$, особенности течения будут определяться уже не только диссипацией энергии, но и условиями теплообмена с окружающей средой. Рассмотрим три случая течения: а) $\theta_a=2,24$; б) $\theta_a=0$; в) $\theta_a=-2,24$ при $Bi=3,75$. Другие параметры течения остаются прежними. На рис. 2-3 представлены зависимости Π и распределения V и Θ от длины x . Интересно отметить, что градиент давления вдоль течения падает во всех случаях (рис. 2).

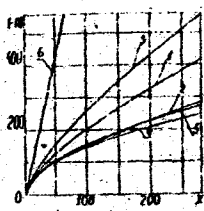


Рис. 3. Зависимость безразмерного давления от длины канала: 1- $\beta_1=3,75$, $\theta=0$; 2- 3,75, 2,24; 3- 3,75, (-2,24); 4- $\beta_1=0$; 5- $\beta_1=0$, $\tau_0=\text{const}$; 6- течение жидкости при μ , $\tau_0=\text{const}$

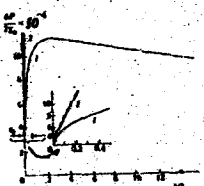


Рис. 4. Неизотермический аналог кривой консистентности (1); 2- изотермическая кривая

Профиль осевой составляющей скорости с увеличением x становится более наполненным. После достижения максимальной наполненности он начинает вытягиваться (рис. 3). Заметим, что максимальная наполненность соответствует оптимальным условиям 3-го получения гранул [5].

Наиболее наполненный профиль скорости наблюдается при $\theta = 2,24$ (рис. 2).

Такие свойства неизотермического течения приводят к сильному отличию неизотермического аналога кривой консистентности от изотермического [6]. При небольших расходах теплота трения незначительна, и вся она успевает равномерно распределиться по сечению канала за время пребывания в нем жидкости. Реологические характеристики и распределение скорости в этих случаях слабо отличаются от изотермических. При увеличении расхода течение приобретает высокотемпературный характер [3], а это ведет к немонотонной консистентной зависимости (рис. 4).

Возникновение высокотемпературных режимов течения можно определить, зная параметры, определяющие решение системы (4)-(12) β_1 , β_2 , I, G_p , Re , Bi , и θ .

При заданной производительности $Re = \text{const}$, т. к. физические свойства различных марок ТПУ отличаются незначительно, и, поскольку для расплавов полимеров, как правило, $I < 1$, основное влияние на течение оказывают β_1 и G_p . Рассмотрим это влияние при $Bi=0$, т. к. мы видели, что здесь проявляются основные закономерности неизотермического течения.

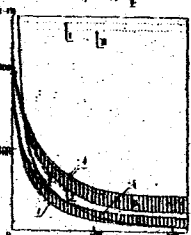


Рис. 5. Зависимость перепада давления от параметров задачи для участка канала $y=30$. Область I- $Re=1600$; II- $Re=5300$. 1,3- течение с $\beta_1=0,01$; 2,4- $\beta_1=0,2$, $I=0,04$, $\beta_2=0,04$; 5- $Re=1600$, $\beta_1=0,01$, $\beta_2=0,04$, $Bi=3,75$, $\theta=-2,24$. Пунктирные линии для жидкости с постоянными свойствами

Если $Gn \rightarrow 0$, то $\Pi \rightarrow \Pi_{1s}$ (рис. 5). При увеличении Gn от 0 до 100 Π резко падает, а при $Gn > 100$ остается почти постоянным, что свидетельствует о возникновении высокотемпературного режима течения с низким градиентом давления.

Характер течения в случае $Bt = 0$ отличается тем, что при малых Gn основное влияние на динамику течения оказывает теплообмен с окружающей средой и для $Bt < 0$ при $Gn \rightarrow 0$, $\Pi > \Pi_{1s}$ (рис. 5) за счет охлаждения расплава.

Сравнение результатов, полученных изложенным методом, с тестовыми задачами и экспериментальными данными дает хорошее согласие.

ОБОЗНАЧЕНИЯ: а - коэффициент температуропроводности, m^2/c ; с - удельная теплоемкость, $J\cdot K/(kg \cdot K)$; Е, E_p - энергия активации вязкого пластического течения, $J\cdot моль$; h - интенсивность скоростей деформаций, s^{-1} ; К - коэффициент тепlop передачи, $Wt/(m^2 \cdot K)$; P_0 - давление текущее и на входе в конфузор, Па; Q - расход, m^3/c ; R - универсальная газовая постоянная, $J\cdot K/(моль \cdot K)$; r - радиальная координата, м; R_0 , r_0 - радиус: канала и квазитвердого ядра, м; T , T_0 - температура расплава: текущая и на входе в канал, К; V - скорость, m/c ; z - продольная координата, м; τ - скорость сдвига, s^{-1} ; λ - коэффициент тепlop проводности, $Wt/(m \cdot K)$; μ - динамический коэффициент вязкости, $Pa \cdot с$; ρ - плотность, kg/m^3 ; τ_c , τ_b - напряжение сдвига: текущее и предельное, Па; Gn - число Нема - Гриффита; I - критерий Ильинина; Рекле - число Рекле; $Re = \frac{\pi R_0 \rho}{\mu}$ - число Рейнольдса; St - число Стантона для слоя.

ИНДЕКСЫ: а - относится к окружающей среде; 1 - номер слоя; 1s - изотермический; r, z - радиальная и продольная составляющие вектора.

Л и т е р а т у р а

1. Бондаренко В. Г., Потебня Г. Ф., Ульев Л. М. и др. // ИЖ. - 1990. - Т. 59, № 1. - С. 158-159.
2. Ockendon J. // J. Fluid Mech. - 1979, 93, Part 4. - P. 737-746.
3. Ульев Л. М. Напорно-расходная характеристика при неизотермическом течении высоковязких жидкостей в цилиндрических каналах. - См. данный сборник. - С. 33-37.
4. Pearson J.R.A. // Polymer Engng. Sci. - 1978. - vol. 18, No. 3. - p. 222-229.
5. Бернхардт Э. Переработка термоэластичных материалов. - И.: Химия, 1965. - С. 747.
6. Смольский Б. И., Нульман З. П., Гориславец В. М. Реодинамика и теплообмен нечиненно-вязкопластичных материалов. - Минск: Наука и техника, 1970. - С. 448.